気象レーダーで観測された

2018年1月23日草津白根山噴火に伴う噴煙エコー*

Eruption Cloud Echoes from Mt. Kusatsu-Shirane on January 23rd, 2018 Observed by JMA Weather Radars

気象庁気象研究所^{**}

Meteorological Research Institute, JMA

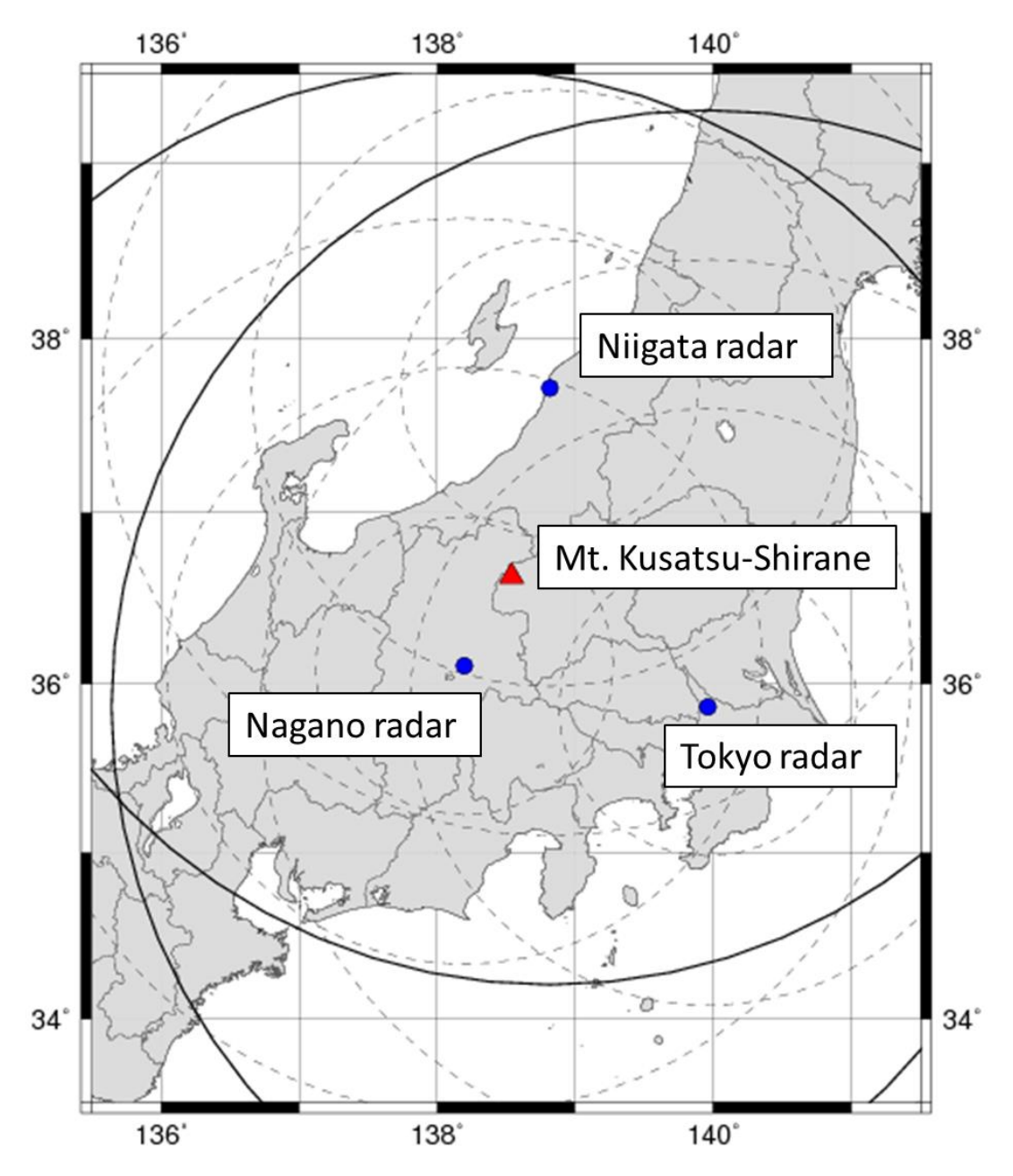
草津白根山(本白根山)では2018年1月23日10時02分頃に噴火が発生した。遠望観測では噴煙を捉えることは出来なかったが、気象庁一般気象レーダー(長野、新潟、東京)によって噴煙エコーを捉えることが出来た。草津白根山と各レーダーサイトの位置関係を第1図に示す。気象庁レーダーはCバンド(波長5.6cm)を利用している。ここでは、一般気象レーダーで観測された噴煙エコーについて報告する。

第2図に長野レーダーで観測された反射強度データを示す。噴煙エコーは本白根山と白根山の間で立ち上がり、東に流れていた。またこの図から、噴煙エコー頂は火口周辺から東へ約7 kmのところで確認することが出来た。気象レーダーによる確率的推定結果(第1表及び第3図)によると、噴煙(火山灰雲)の海抜高度は $5,475\pm488 \text{m}$ (1σ)と推定される(佐藤・他(2016)の方法に基づく)。

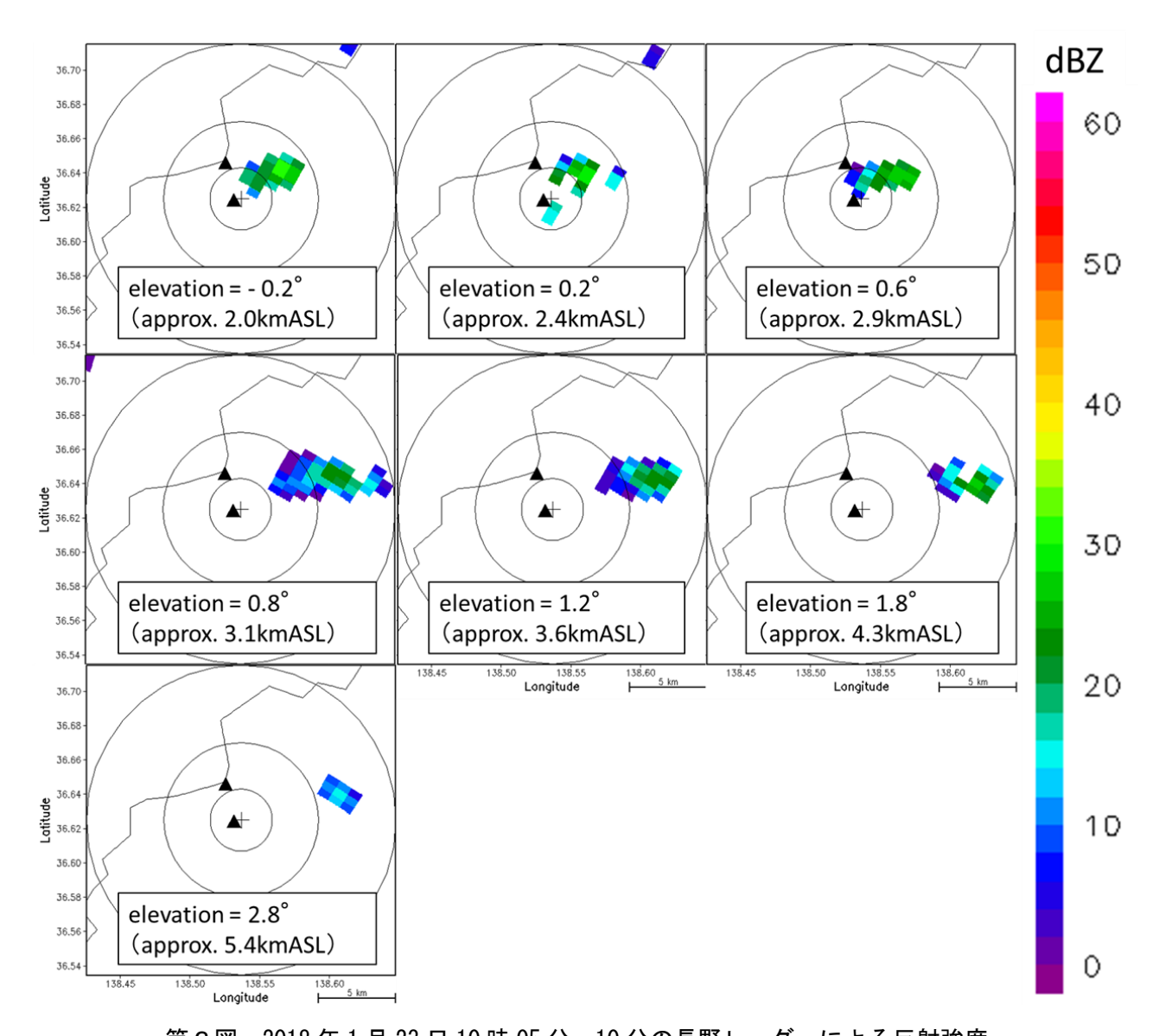
今回報告した噴煙エコーの中には局所的な気象(降水)エコーとの区別が難しいものを含むこと、エコー高度は大気の屈折率やビーム幅による誤差を伴うこと、レーダーのスキャンシーケンスによってエコー高度は不連続な値を取ることに注意が必要である。レーダーの各仰角から高度への変換に関しては、気象庁の局地解析のデータを基に、下層の屈折率(指数)を 5/4 等価地球半径モデルを用いて近似した(第4図)。エコー高度の精査や局所的な気象(降水エコー)との区別など、更なる解析が必要である。

^{* 2018}年3月20日受付

^{**} 佐藤英一・新堀敏基・福井敬一・石井憲介・徳本哲男 Eiichi SATO, Toshiki SHIMBORI, Keiichi FUKUI, Kensuke ISHII and Tetsuo TOKUMOTO



第1図 草津白根山周辺のレーダー配置図(▲は草津白根山, ●が気象庁一般気象レーダー, 破線の同心円は各レーダーサイトから 100km、200km, 300km を, 実線の同心円は 400km(最大距離)を示す) Fig. 1 Location map of JMA weather radars (●) around Mt. Kusatsu-Shirane (▲). Dashed concentric circles show 100km, 200km and 300km from each radar site, and solid circle shows 400km (maximum range).



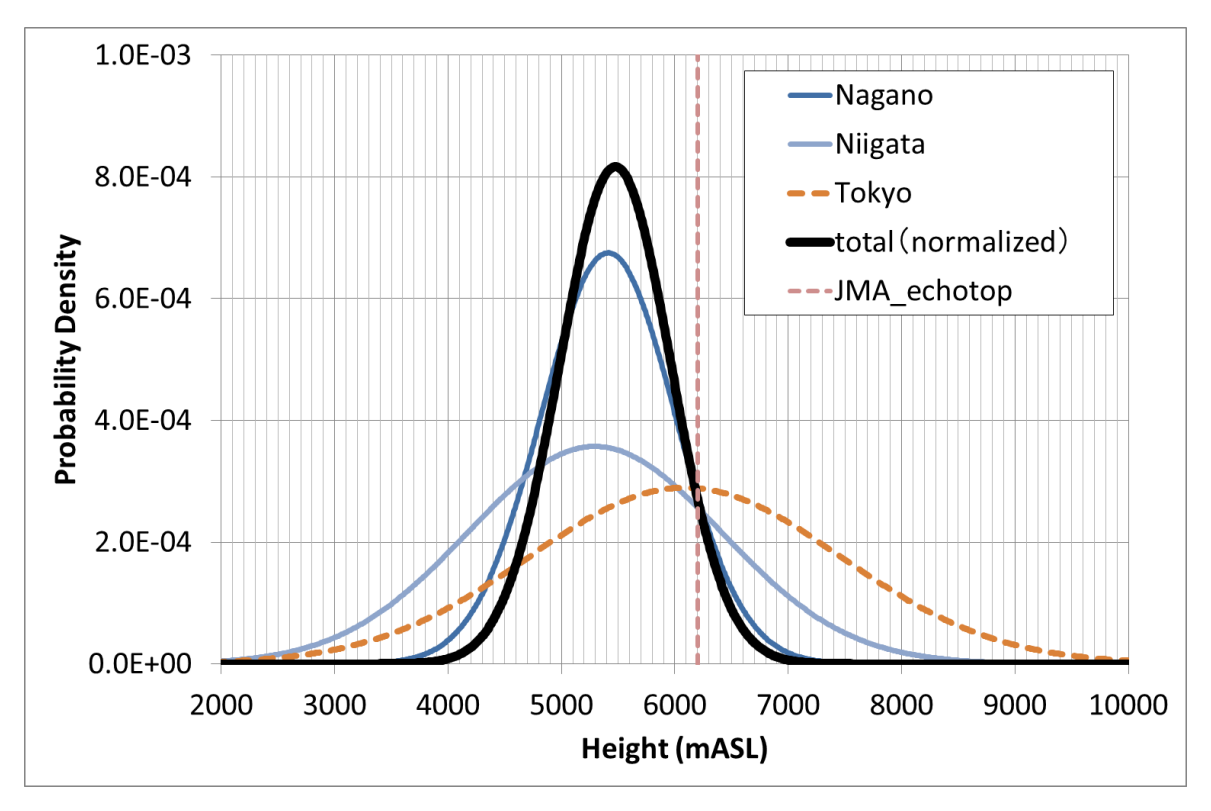
第2図: 2018年1月23日10時05分~10分の長野レーダーによる反射強度 ▲は本白根山と白根山を、同心円は鏡池から2km、5km、10kmを表す。

Fig. 2 Reflectivity images observed by Nagano radar at 10:05-10:10JST on January 23rd, 2018. ▲ show summits of Mt. Moto-Shirane and. Mt. Shirane. Concentric circles show 2km, 5km and 10km from Kagami pond (+).

第1表:草津白根山の火山灰雲を捉えた一般気象レーダーとそのビーム高度

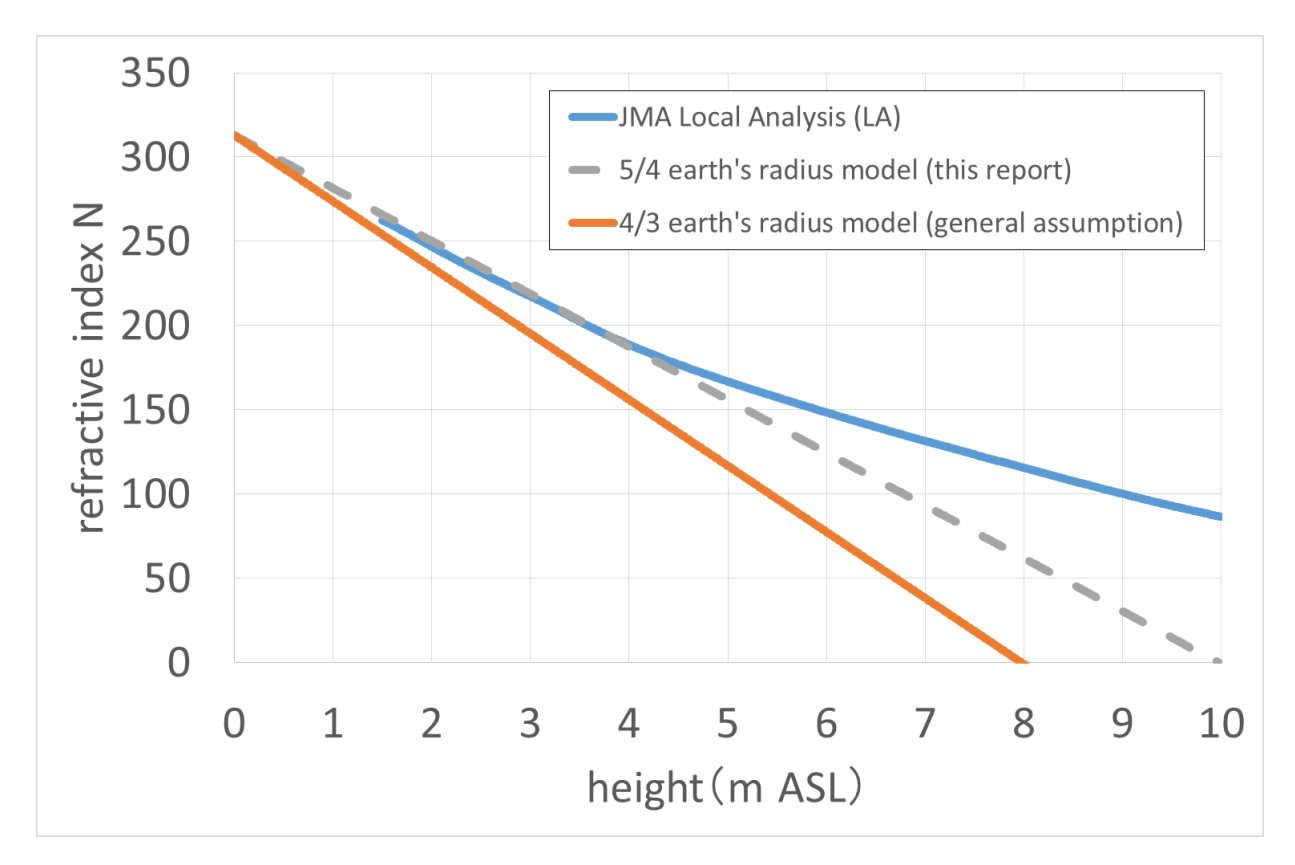
Table1 Radars which captured eruption cloud from Mt. Kusatsu-Shirane, and their beam heights.

	distance [km]	highest elevation [degree]	beam height (center) [km]	beam height (bottom) [km]	beam height (top) [km]
Nagano	65.5	2.8	5.4	4.8	6.0
Niigata	124	1.7	5.3	4.2	6.4
Tokyo	153	1.7	6.1	4.7	7.5



第3図: 噴煙(火山灰雲) 高度の確率的推定結果(黒太線)

Fig.3 Result of probability estimation of eruption cloud height (black thick line).



第4図: 2018年1月23日10時の気象庁局地解析(LA)から求めた屈折指数(N単位)(青実線)と その近似直線(5/4R(灰破線)と4/3R(橙実線))

屈折指数(N単位)

$$N = (n-1) \times 10^6 = 77.6 \frac{p}{T} + 3.73 \times 10^5 \frac{e}{T^2}$$

として計算。n は屈折率、p は気圧(hPa)、T は気温(K)、e は水蒸気圧(hPa)。

Fig. 4 Refractive index derived from JMA Local Analysis data (blue curve) at 10:00JST on January 23rd, 2018. Orange line shows refractive index by 4/3 R model. Gray dashed line shows approximate straight line at the lower layer of the Local Analysis, which is equivalent to 5/4 R model.

Refractive index (N unit)

$$N = (n-1) \times 10^6 = 77.6 \frac{p}{T} + 3.73 \times 10^5 \frac{e}{T^2}$$

n, p, T and e show refractivity, pressure(hPa), temperature(K) and water vapor pressure(hPa), respectively.

参考文献:

佐藤英一,福井敬一,新堀敏基,石井憲介,高木朗充,菅井明,黒木英州,真木雅之 (2016) 気象レーダー網 を用いた噴煙高度の確率的推定手法について.日本気象学会大会講演予稿集,109,259.